

# Phân tích động lực học dầm Composite trên nền đàn hồi dưới tác dụng tải trọng di động

## Dynamic analysis of composite beams resting on Winkler foundation under a moving load

Ngày nhận bài: 29/6/2017

Ngày sửa bài: 21/7/2017

Ngày chấp nhận đăng: 5/8/2017

Đặng Xuân Hiếu, Nguyễn Ngọc Dương,  
Nguyễn Trung Kiên

### TÓM TẮT

Bài báo này nghiên cứu ứng xử động học của dầm composite trên nền đàn hồi chịu tải trọng di động. Mô hình dầm sử dụng lý thuyết biến dạng cát bậc cao. Tải trọng hiểu hòai di chuyển với vận tốc không đổi. Sự tương tác giữa dầm và nền thông qua hệ số nền Winkler. Trường chuyển vị được xác định bằng các hàm lượng giác thỏa mãn các điều kiện biên khác nhau. Phương trình động lực học của dầm được thiết lập dựa trên phương trình Lagrange và giải bằng phương pháp số Newmark. Các вели số được thực hiện để kiểm chứng với các nghiên cứu trước đó và khảo sát sự ảnh hưởng của các tham số: độ cứng nền Winkler, tần số lực kích thích, vận tốc di chuyển tải trọng, tỷ số chiều dài/chiều cao dầm, tỷ lệ môđun đàn hồi, hướng sợi gián tiếp... đến ứng xử động lực học của dầm.

### ABSTRACT

This paper presents dynamic behaviors of composite beams resting on an elastic foundation under a moving load. Beam model bases on a higher-order shear deformation theory. A harmonic load moves with constant velocity. The interaction between the beam and the elastic foundation is represented by the Winkler coefficient. The displacement fields are approximated by shape functions satisfied different boundary conditions. Equations of motion are derived from Lagrange's equations and Newmark method are used to solve equations of motion. Numerical results are conducted to verify with previous studies. Effects of stiffness of the Winkler foundation, excitation frequency, velocity of the moving load, span-to-depth ratio, material anisotropy, the fiber orientation... on the dynamic behaviors of the composite beams are investigated.

Đặng Xuân Hiếu

Giáo viên cao học, Khoa Xây Dựng, Trường Đại học Sư phạm Kỹ thuật thành phố Hồ Chí Minh.

Nguyễn Ngọc Dương

Giảng viên, Khoa Xây Dựng, Trường Đại học Sư phạm Kỹ thuật thành phố Hồ Chí Minh.

Nguyễn Trung Kiên

Giảng viên, Khoa Xây Dựng, Trường Đại học Sư phạm Kỹ thuật thành phố Hồ Chí Minh.

### 1. Giới thiệu

Composite là vật liệu hỗn hợp, được tạo nên từ hai hay nhiều vật liệu khác nhau. Do có những ưu điểm như độ cứng lớn, trọng lượng nhẹ, chống ăn mòn tốt và đặc biệt là khả năng thay đổi hướng sợi để đáp ứng đồ cứng theo yêu cầu thiết kế nên vật liệu composite đã được sử dụng rất phổ biến trong các ngành kỹ thuật. Một số sản phẩm dùng vật liệu composite như: vỏ tên lửa, máy bay, tàu vũ trụ, bình chịu áp lực cao, ống dẫn xăng dầu, hóa chất, vỏ tàu thuyền... Để phát triển và ứng dụng rộng rãi hơn nữa loại vật liệu ưu việt này trong đời sống và kỹ thuật, cần có nhiều những nghiên cứu, phân tích về ứng xử của nó. Trong lĩnh vực cơ học nói chung và kết cấu xây dựng nói riêng, ứng xử của phần tử dầm thường được phân tích, nghiên cứu nhiều vì nó phổ biến của nó. Mô hình dầm trên nền đàn hồi chịu tải trọng di động cũng được ứng dụng rộng rãi mà bài toán đường ray xe lửa (tàu điện) chính là ví dụ điển hình nhất.

Nhiều nghiên cứu được thực hiện để phân tích ứng xử của dầm composite, trong đó, ứng xử động được quan tâm hơn cả bởi vì đây là một trong những thuộc tính quan trọng của dầm [1-12]. Trong các nghiên cứu này, các tác giả đều sử dụng lý thuyết biến dạng cát bậc cao để mô tả trường chuyển vị. So với lý thuyết dầm cổ điển và lý thuyết biến dạng cát bậc nhất, lý thuyết biến dạng cát bậc cao dự đoán ứng xử của dầm chính xác hơn [12]. Điều này giải thích tại sao lý thuyết biến dạng cát bậc cao được sử dụng khá phổ biến. Bài toán dầm đặt trên nền cứng đã thu hút được sự quan tâm của nhiều nhà khoa học trên thế giới [13-26]. Nhiều mô hình đã được đề xuất nhằm mô tả chính xác ứng xử thực tế của dầm, có thể kể ra như mô hình nền Winkler [13-14]; mô hình nền har shoring số của Valsangkar, AJ và R. Pradhanang [17], Franciosi, C. và A. Masi [18]; mô hình nền ba thông số của Radea, Mircea [25], Morfidis, K. và I. E. Avramidis [26]... Trong đó, mô hình nền Winkler là đơn giản và áp dụng phổ biến nhất [19]. Vẫn để tài trong di động cũng được nhiều tác giả quan tâm khảo sát, điều này được thể hiện trong các nghiên cứu [27-30]. Simsek và Kocaturk [27] đã phân tích ứng xử

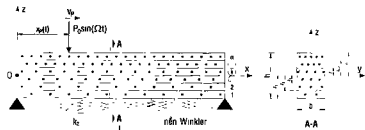
dòng của dầm vật liệu phân lớp chức năng điều kiện biên tựa đơn chịu tải tập trung di động điều hòa. Trong nghiên cứu này, lý thuyết dầm Euler-Bernoulli được sử dụng. Zeki Kiral và Binnur Goren Kiral [28] sử dụng phương pháp phân tử hữu hạn để nghiên cứu ứng xử động học của dầm composite nhiều lớp đối xứng chịu tải trọng di chuyển với vận tốc không đổi. Volkan Kahya và Ayman S. Mosallam [29] dự đoán ứng xử động của dầm sandwich chịu tác dụng của khối lượng di động bằng phương pháp giải tích. Ứng xử phi tuyến của dầm composite trong môi trường nhiệt chịu tải trọng di động được đề cập trong nghiên cứu của Chang Tao, Yi-Ming Fu và Hong-Liang Dai [30]. Trong tài liệu này, các tác giả sử dụng nguyên lý Hamilton để thiết lập phương trình chuyển động phi tuyến và các ứng xử động học được xác định từ lời giải Galerkin và Newmark. Có thể thấy rằng rất nhiều đề tài khoa học trên thế giới đã tiến hành nghiên cứu, phân tích dầm composite. Tuy nhiên, vấn đề ứng xử động học của dầm composite chịu tải trọng di động trên nền đàn hồi vẫn chưa được đề cập cụ thể và chi tiết. Vì vậy, vấn đề thứ v này cần được tập trung nghiên cứu.

Mục tiêu của bài báo là phân tích động lực học dầm composite trên nền đàn hồi dưới tác dụng của tải trọng di động sử dụng lý thuyết biến dạng cát bậc cao. Trong phạm vi giới hạn, bài báo khảo sát vật liệu composite trực hướng với cốt già cuồng dang sợi. Phương trình Lagrange và lời giải Ritz được áp dụng để thiết lập phương trình chuyển động. Phương pháp rời rạc Newmark được lựa chọn để giải phương trình động học nhằm thu được chuyển vị của dầm. Ảnh hưởng của các yếu tố: hê số nền đàn hồi Winkler, tần số lực kích thích, vận tốc di chuyển tải trọng, tỷ số chiều dài/chiều cao dầm, tỷ lệ módul đàn hồi, hướng sợi già cuồng... đến ứng xử động học của dầm được khảo sát.

## 2. Cơ sở lý thuyết

### 2.1 Vật liệu composite - Mô hình bài toán

Khảo sát dầm composite có chiều dài  $L$ , chiều rộng  $b$ , chiều cao  $h$ , chịu tải trọng di động trên nền đàn hồi trong hệ trục tọa độ  $(x, y, z)$  như Hình 1.



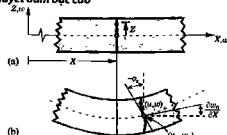
Hình 1. Mô hình dầm composite nhiều lớp chịu tải trọng di động hòa di động trên nền đàn hồi Winkler

Dầm gồm  $n$  lớp vật liệu composite trực hướng chiều dày bằng nhau với hướng sợi già cuồng lệch với trục  $x$  một góc  $\theta$ . Tải trọng diều hòa  $P(t) = P_0 \sin(\Omega t)$  di chuyển với vận tốc không đổi  $v_p$ . Giả định rằng lực đi vào dầm tại thời điểm bắt đầu khảo sát  $t = 0$ . Khi tần số lực kích thích  $\Omega = 0$ , tải trọng xem như tải tập trung di động  $P(t) = P_0$ . Dầm khảo sát tựa trên nền đàn hồi Winkler. Ứng xử của nền có thể được mô hình như một hệ lò xo đơn lâm mà biến dạng đàn hồi của chúng tỷ lệ với áp lực tác động thông qua hệ số nền:

$$p(x, t) = k_z w_0(x, t) \quad (1)$$

Trong đó,  $k_z$  là hệ số phản lực nền Winkler,  $w_0(x, t)$  là chuyển vị thẳng đứng tại điểm đang xét

## 2.2 Lý thuyết dầm bậc cao



Hình 2. Lý thuyết biến dạng cát bậc cao [32]

Trường chuyển vị của lý thuyết biến dạng cát bậc cao [32]:

$$u(x, z, t) = u_0(x, t) - zw_{0,z} + f(z)\phi(x, t) \quad (2)$$

$$w(x, z, t) = w_0(x, t) \quad (3)$$

Trong đó  $u(x, z, t)$ ,  $w(x, z, t)$  tương ứng là chuyển vị dọc

ngang của điểm bất kỳ trên dầm tại thời điểm xác định;  $u_0(x, t)$ ,  $w_0(x, t)$  lần lượt là chuyển vị dọc và ngang của trục trung hàn  $\phi(x, t)$  là góc xoay của tiếp tuyến mặt cắt tiết diện ngang tại trung hòa; dấu phẩy () phía dưới biểu thị đạo hàm theo chỉ số tuồi ứng nằm dưới. Hàm  $f(z) = \frac{h}{\pi} \sin\left(\frac{\pi z}{h}\right)$  [31] là hàm bậc cao của

thuỷt đang xét.

Biến đổi tương ứng với trường chuyển vị:

$$\sigma_{xx} = u_{,x} = u_{0,x} - zw_{0,xx} + f(z)\phi_{,x} \quad (4)$$

$$\gamma_{xz} = u_{,z} + w_{,x} = f_z \phi \quad (5)$$

Trường ứng suất của lớp dầm thứ  $k$  như sau [32]:

$$\sigma_{xx}^{(k)} = \bar{Q}_{11}^{(k)} \varepsilon_{xx} \quad (6)$$

$$\sigma_{zz}^{(k)} = \bar{Q}_{33}^{(k)} \gamma_{xz} \quad (7)$$

Trong đó  $\bar{Q}_{11}^{(k)}$ ,  $\bar{Q}_{33}^{(k)}$  lần lượt là các hệ số độ cứng giảm trong ngoài mặt phẳng uốn của lớp thứ  $k$  quy về hê tọa độ tổng thể, như sau [32]:

$$\bar{Q}_{11} = Q_{11} \cos^4 \theta + Q_{22} \sin^4 \theta + 2(Q_{12} + 2Q_{66}) \sin^2 \theta \cos^2 \theta \quad (8)$$

$$\bar{Q}_{33} = Q_{44} \sin^2 \theta + Q_{55} \cos^2 \theta \quad (9)$$

Với:

$$Q_{11} = \frac{E_1}{1 - \nu_{12} \nu_{21}}, Q_{22} = \frac{E_2}{1 - \nu_{12} \nu_{21}} \quad (10)$$

$$Q_{12} = \nu_{12} Q_{21}; Q_{44} = G_{23}; Q_{55} = G_{13}; Q_{66} = G_{12} \quad (11)$$

$E_1, E_2, G_{12}, G_{13}, G_{23}$  là các hằng số đàn hồi của vật liệu bùn;  $\nu_{12}, \nu_{21}$  là các hệ số Poisson.

## 2.3 Thiết lập phương trình động lực học

Năng lượng biến dạng đàn hồi của dầm [32]:

$$U = \frac{1}{2} \int \left( (\sigma_a \varepsilon_a + \sigma_e \gamma_e) dV \right. \\ \left. - \frac{1}{2} \int_0^L A_a (u_{a,z})^2 - 2B_a u_{a,z} w_{a,w} + D_a (w_{a,w})^2 \right. \\ \left. + 2E_a u_{a,\phi} - 2F_a w_{a,w} \phi + H_a (\phi)^2 + K_a \phi^2 \right) dx \quad (7)$$

Trong đó  $(A_a, B_a, D_a, E_a, F_a, H_a, K_a)$  là các độ cứng của dầm composite nhiều lớp, được định nghĩa như sau:

$$(A_a, B_a, D_a, E_a, F_a, H_a)$$

$$= \sum_{k=1}^n \int_{z_k}^{z_{k+1}} (1, z, z^2, f(z), zf(z), f(z)^2) \overline{Q}_{11}^{(k)} dz \quad (8a)$$

$$K_a = \sum_{k=1}^n \int_{z_k}^{z_{k+1}} (f_{,z})^2 \overline{Q}_{55}^{(k)} dz \quad (8b)$$

Đóng nồng của dầm [32]:

$$K = \frac{1}{2} \int_r \rho(z) (\dot{u}^2 + \dot{w}^2) dV \\ = \frac{1}{2} \int_0^L \left[ I_0 (u_0^2 + \dot{w}_0^2) - 2I_1 \dot{u}_0 \dot{w}_{0,z} + I_2 (\dot{w}_{0,z})^2 \right. \\ \left. + 2J_1 \dot{u}_0 \phi - 2J_2 \dot{w}_0 \phi + K \dot{\phi}^2 \right] dx \quad (9)$$

Trong đó dao hàm theo thời gian được biểu thị bằng dấu chấm đặt trên mỗi đại lượng:  $(I_0, I_1, I_2, J_1, J_2, K_1)$  là các khối lượng quán tính của dầm được định nghĩa như sau:

$$(I_0, I_1, I_2, J_1, J_2, K_1) \\ = \sum_{k=1}^n \int_{z_k}^{z_{k+1}} \rho(z)^{(k)} (1, z, z^2, f(z), zf(z), f(z)^2) dz \quad (10)$$

Công do lực di động trên dầm [27]:

$$V_p = P(t) w_o(x_p, t) [c(t - t_1) - c(t - t_2)] \quad (11)$$

Trong đó  $x_p$  là vị trí của lực  $P(t)$  tại thời điểm  $t$ :  $x_p = v_p t$ ;

$$0 \leq x_p \leq L; \quad t_1 = 0 \leq t \leq t_2 = L/v_p; \quad c(\Delta t) = \begin{cases} 1 & (\Delta t \geq 0) \\ 0 & (\Delta t < 0) \end{cases} \quad \text{với}$$

$v_p$  là vận tốc di chuyển của lực,  $t_1$  là thời điểm lực di vào dầm,  $t_2$  là thời điểm lực di ra khỏi dầm.

Công do nén đàn hồi Winkler [14]:

$$V_w = -\frac{1}{2} \int_a^L k_z w_o(x, t) w_o(x, t) dx \quad (12)$$

Từ phương trình (11) và (12) ta có tổng công do ngoại lực trên dầm:

$$V = V_p + V_w = P(t) w_o(x_p, t) [c(t - t_1) - c(t - t_2)] \\ - \frac{1}{2} \int_a^L k_z w_o(x, t) w_o(x, t) dx \quad (13)$$

Tổng năng lượng của cơ học:

$$\Pi = U + V - K \quad (14)$$

Để thiết lập phương trình chuyển động, các hàm chuyển vi được xấp xỉ như sau:

$$w_i(x, t) = \sum_{i=1}^N a_i(t) w_i(x) \quad (15a)$$

$$u_i(x, t) = \sum_{i=1}^N b_i(t) u_i(x) \quad (15b)$$

$$\phi(x, t) = \sum_{i=1}^N c_i(t) \phi_i(x) \quad (15c)$$

Trong đó  $a_i(t), b_i(t), c_i(t)$  là các toa độ suy rộng phụ thuộc thời gian và là các đại lượng cần tìm,  $w_i(x), u_i(x), \phi_i(x)$  là các hàm đang được cho trong Bảng 1 [12] với 3 điều kiện biên khác nhau của dầm gồm: tự đơn - tự đơn (S-S), ngầm - tu do (C-F) và ngầm - ngầm (C-C). Có thể thấy rằng các hàm dạng trên thoả các điều kiện biên động học của dầm được cho ở Bảng 2.

Bảng 1. Các hàm xấp xỉ chuyển vi

Điều kiện biên	Hàm dạng
S-S	$\sin\left(\frac{i\pi}{L}x\right)$
C-F	$1 - \cos\left(\frac{(2i-1)\pi}{2L}x\right)$
C-C	$\sin^2\left(\frac{i\pi}{L}x\right)$

Bảng 2. Các điều kiện biên động học của dầm

Điều kiện biên	Điều kiện ràng buộc
	$x = 0$
S-S	$w_0 = 0$
C-F	$w_0 = 0, u_0 = 0, \phi = 0, w_{0,z} = 0$
C-C	$w_0 = 0, u_0 = 0, \phi = 0, w_{0,z} = 0$

Phương trình Lagrange được viết:

$$\frac{\partial \Pi}{\partial q_i} - \frac{d}{dt} \left( \frac{\partial \Pi}{\partial \dot{q}_i} \right) = 0 \quad (16)$$

Thay các phương trình (7), (9), (13), (15) vào (16) và  $q_i$  đại diện cho  $a_i(t), b_i(t), c_i(t)$ , ta thu được phương trình chuyển động:

$$\begin{bmatrix} K^{11} & K^{12} & K^{13} \\ K^{21} & K^{22} & K^{23} \\ K^{31} & K^{32} & K^{33} \end{bmatrix} \begin{bmatrix} a(t) \\ b(t) \\ c(t) \end{bmatrix} + \begin{bmatrix} M^{11} & M^{12} & M^{13} \\ M^{21} & M^{22} & M^{23} \\ M^{31} & M^{32} & M^{33} \end{bmatrix} \begin{bmatrix} \dot{a}(t) \\ \dot{b}(t) \\ \dot{c}(t) \end{bmatrix} = \begin{bmatrix} F(t) \\ 0 \\ 0 \end{bmatrix} \quad (17)$$

Các ma trận độ cứng  $K$ , ma trận khối lượng  $M$  và vectơ tải  $F(t)$  được viết cụ thể như sau:

$$\begin{aligned}
K_y^{11} &= D_n \int_0^L w_{i,n} w_{j,n} dx + k_z \int_0^L w_i w_j dx \\
K_y^{12} &= A_n \int_0^L u_{i,n} u_{j,n} dx ; K_y^{12} = -B_n \int_0^L w_{i,n} u_{j,n} dx \\
K_y^{22} &= H_n \int_0^L \phi_{i,n} \phi_{j,n} dx + K_{zz} \int_0^L \phi_i \phi_j dx \\
K_z^{12} &= -F_n \int_0^L w_{i,n} \phi_{j,n} dx ; K_z^{22} = E_n \int_0^L u_{i,n} \phi_{j,n} dx \\
M_y^{11} &= I_0 \int_0^L w_i w_j dx + I_2 \int_0^L w_{i,n} w_{j,n} dx \\
M_y^{12} &= I_0 \int_0^L u_i u_j dx ; M_y^{12} = -I_1 \int_0^L w_{i,n} u_j dx \\
M_y^{22} &= K_2 \int_0^L \phi_i \phi_j dx ; M_z^{12} = -J_2 \int_0^L w_{i,n} \phi_j dx \\
M_z^{22} &= J_1 \int_0^L u_i \phi_j dx , F_i(t) = P(t) w_i(x_p) \quad (18)
\end{aligned}$$

#### 2.4 Giải phương trình động lực học

Dạng thu gọn của phương trình chuyển động (17) được viết lại như sau:

$$Kq(t) + M\ddot{q}(t) - F(t) = 0 \quad (19)$$

Trong đó  $q(t) = [a(t) \quad b(t) \quad c(t)]^T$  là tọa độ suy rộng phụ thuộc thời gian. Trong bài toán phân tích dao động tự do, tọa độ suy rộng theo thời gian được cho dưới dạng  $q(t) = \bar{q}(t)e^{i\omega t}$  với  $i^2 = -1$  và  $\omega$  là tần số góc tự nhiên của dầm. Các tần số tự nhiên này là nghiệm của phương trình đặc trưng:

$$|K - \omega^2 M| = 0 \quad (20)$$

Đối với bài toán dầm chịu tải di động điều hòa theo thời gian, phương pháp Newmark được sử dụng để giải phương trình chuyển động (19). Phương trình số gia của chuyển động giữa hai thời điểm  $i$  và  $i+1$  được cho bởi:

$$\Delta K\ddot{q}_i + K\Delta q_i = \Delta F_i \quad (21)$$

Trong đó  $\Delta q_i$ ,  $\Delta q$ , và  $\Delta F$ , tương ứng là các vectơ số gia của già tốc, chuyển vị và tải trong ngoặc. Sử dụng phương pháp trung bình già tốc (phương pháp Newmark với các hổ số  $\gamma = 1/2$ ;  $\beta = 1/4$ ) với giả thiết sự biến thiên của già tốc trong một bước thời gian là hằng số, ta có

$$\Delta \ddot{q} = q_{i+1} - q_i = \frac{4}{\Delta t^2} \Delta q_i - \frac{4}{\Delta t} \dot{q}_i - 2\ddot{q}_i \quad (22a)$$

$$\Delta \dot{q} = q_{i+1} - \dot{q}_i = \frac{2}{\Delta t} \Delta q_i - 2\ddot{q}_i \quad (22b)$$

Thay phương trình (22) vào (19), số giá của chuyển vị có thể được tính như sau:

$$K_i^{\text{eff}} \Delta q_i = \Delta F_i^{\text{eff}}$$

Với  $K_i^{\text{eff}}$  là độ cứng hiệu dụng và  $\Delta F_i^{\text{eff}}$  là số giá tải trọng

$$K_i^{\text{eff}} = \frac{4}{\Delta t^2} \mathbf{M} + \mathbf{K} \quad (23)$$

$$\Delta F_i^{\text{eff}} = \Delta F_i + \left( \frac{4}{\Delta t} \dot{q}_i + 2\ddot{q}_i \right) \mathbf{M} \quad (24)$$

Sau khi giải phương trình (23), giá trị chuyển vị, vận tốc và giá trị thời điểm  $i+1$  được tính dựa vào vectơ số giá chuyển vị  $\Delta q_i$ , như

$$q_{i+1} = q_i + \Delta q_i \quad (25)$$

$$\dot{q}_{i+1} = -\dot{q}_i + \frac{2}{\Delta t} \Delta q_i \quad (26)$$

$$\ddot{q}_{i+1} = -\ddot{q}_i + \frac{4}{\Delta t^2} \Delta q_i - \frac{4}{\Delta t} \dot{q}_i \quad (27)$$

#### 3. Ví dụ số

Phản hồi khảo sát sự hội tụ của lời giải, so sánh các kết quả ngẫu nhiên với các kết quả đã công bố và khảo sát ảnh hưởng của các yếu tố số nền dầm hói Winkler, tần số lực kích thích, vận tốc di chuyển, tỷ số  $L/h$ , tỷ lệ môđun dàn hói, hướng sói già cương... đến xử lý của dầm composite thông qua các ví dụ số. Các thông số vật liệu các ví dụ được cho trong Bảng 3 và 4. Để thuận tiện trong tính toán, đại lượng không thử nguyên sau đây được sử dụng trong các ví dụ

$$\text{hệ số nền Winkler } \alpha = \frac{k_1 L^3}{E_1 I}, \text{ vận tốc tải trọng } \beta = \frac{T v_p}{L} = \frac{2\pi}{\omega} \quad (28)$$

$$\text{tần số } \bar{\omega} = \frac{\omega L^2}{h} \sqrt{\frac{\rho}{E_2}}.$$

Bảng 3. Thông số vật liệu

Đặc tính cơ học vật liệu							
$E_1 / E_2$	$E_1 = 241.5 GPa$	$G_{12} = G_{31} = 0.6 E_1$	$G_{23} = 0.5 E_2$	$v_{12} = 0.25$	$\rho = 3000 kg/m^3$	$\gamma_p = 20$	$\gamma_s = 10$

Bảng 4. Thông số các ví dụ

Vi dụ	$b$ (m)	$h$ (m)	$L/h$	$\alpha$	$P_o$ (MN)	$\Omega$ (rad/s)	$v_p$ (m/s)
1	1	0.1	10	10	-	-	-
2,3	1	0.1	50	10	1	20	10
4	1	0.1	-	-	-	-	-
5	0.25	0.25	40	-	1	-	2
6,11	0.25	0.25	40	10	1	-	-
7	0.25	0.25	40	-	1	0	-
8	0.25	0.25	-	10	1	-	10
9,10	0.25	0.25	40	10	1	-	2

#### 3.1 Khảo sát sự hội tụ

Ví dụ 1, 2 và 3 nhằm khảo sát sự hội tụ của lời giải. Dầm composite xứng  $[0;90;0]$  với các điều kiện biên khác nhau được phân tích số không thử nguyên (VD1) và chuyển vị (VD2) dầm cho ca ba điều kiện S-S, C-F và C-C lần lượt được thể hiện ở Bảng 5 và 6. Kết quả thấy tần số và chuyển vị của dầm hội tụ tại  $N = 12$  và giá trị này

chọn để xuất kết quả cho các ví dụ số. Bảng 7 cho thấy sự hồi của chuyển vị (VD3) theo bước thời gian tính toán là  $RL = 200$

Bảng 5. Suy hối tu tần số không thử nguyên dầm [0;90;0]

N	Điều kiện biến		
	S-S	C-F	C-C
2	14.7849	8.0253	21.2319
4	14.7849	7.9890	20.8109
6	14.7849	7.9778	20.7039
8	14.7849	7.9730	20.6654
10	14.7849	7.9705	20.6485
12	14.7849	7.9692	20.6401
14	14.7849	7.9684	20.6354
16	14.7849	7.9679	20.6327

Bảng 6. Suy hối tu chuyển vi lớn nhất (m) tại giữa dầm [0;90;0]

N	Điều kiện biến		
	S-S	C-F	C-C
2	0.0813	0.2773	0.0172
4	0.0799	0.2752	0.0174
6	0.0796	0.2753	0.0175
8	0.0797	0.2756	0.0175
10	0.0798	0.2756	0.0176
12	0.0797	0.2756	0.0176
14	0.0797	0.2756	0.0176
16	0.0797	0.2757	0.0176

Bảng 7. Suy hối tu chuyển vi lớn nhất (m) tại giữa dầm [0;90;0]

RL	Điều kiện biến		
	S-S	C-F	C-C
10	0.0712	0.2773	0.0154
25	0.0811	0.2773	0.0169
50	0.0811	0.2773	0.0171
75	0.0811	0.2773	0.0172
100	0.0812	0.2773	0.0171
125	0.0813	0.2773	0.0171
150	0.0813	0.2773	0.0172
200	0.0813	0.2773	0.0172
250	0.0813	0.2773	0.0172

### 3.2 So sánh kết quả nghiên cứu

Trong ví dụ 4, các dầm composite đối xứng [0;90;0] và không đối xứng [0;90] được khảo sát. Kết quả tần số không thử nguyên cho trong Bảng 8, 9 và được so sánh với kết quả của các tác giả khác. Kết quả cho thấy lời giải hiện tại rất gần với các kết quả đã công bố.

Bảng 8. Tần số không thử nguyên dầm [0;90;0]

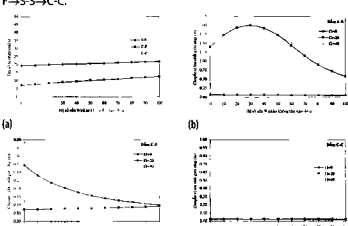
Điều kiện biến	Tham khảo	L/h		
		5	20	50
S-S	Nghiên cứu	9.225	16.337	17.462
	Nguyen và cộng sự [12]	9.208	16.338	17.462
	Murthy và cộng sự [5]	9.207	-	-
	Khdeir, Reddy [2]	9.208	-	-
	Aydogdu [7]	9.207	16.337	-
	Mantari, Canales [11]	9.208	-	-
C-F	Nghiên cứu	4.247	6.070	6.267
	Nguyen và cộng sự [12]	4.234	6.070	6.267
	Murthy và cộng sự [5]	4.230	-	-
	Khdeir, Reddy [2]	4.234	-	-
	Aydogdu [7]	4.234	6.070	-
	Mantari, Canales [11]	4.221	-	-
C-C	Nghiên cứu	11.766	29.710	37.671
	Nguyen và cộng sự [12]	11.607	29.695	37.679
	Murthy và cộng sự [5]	11.602	-	-
	Khdeir, Reddy [2]	11.603	-	-

Điều kiện biến	Tham khảo	L/h		
		5	20	50
	Aydogdu [7]	11.637	29.926	-
	Mantari, Canales [11]	11.486	-	-
<b>Bảng 9. Tần số không thử nguyên dầm [0;90;0]</b>				
Điều kiện biến	Tham khảo	L/h		
		5	20	50
S-S	Nghiên cứu	6.153	7.221	7.303
	Nguyen và cộng sự [12]	6.128	7.219	7.302
	Murthy và cộng sự [5]	6.045	-	-
	Khdeir, Reddy [2]	6.128	-	-
	Aydogdu [7]	6.144	7.218	-
	Mantari, Canales [11]	6.109	-	-
C-F	Nghiên cứu	2.389	2.591	2.605
	Nguyen và cộng sự [12]	2.383	2.591	2.605
	Murthy và cộng sự [5]	2.378	-	-
	Khdeir, Reddy [2]	2.386	-	-
	Aydogdu [7]	2.384	2.590	-
	Mantari, Canales [11]	2.375	-	-
C-C	Nghiên cứu	10.165	15.683	16.433
	Nguyen và cộng sự [12]	10.027	15.661	16.429
	Murthy và cộng sự [5]	10.011	-	-
	Khdeir, Reddy [2]	10.026	-	-
	Aydogdu [7]	10.102	15.688	-
	Mantari, Canales [11]	9.974	-	-

### 3.3 Ảnh hưởng của các yếu tố đến ứng xử của dầm

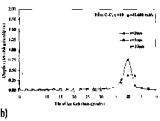
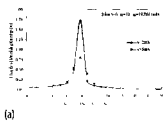
Các thông số có ảnh hưởng đến ứng xử của dầm composite nhiều lớp: hệ số nén Winkler, tần số lực kích thích, ván tốc tải trọng, tỷ số  $L/h$ , tỷ lệ môđun đàn hồi, hướng sợi già cương. . được khảo sát trong ví dụ 5 về dầm đến ứng xử của dầm composite ba lớp [0;90;0].

Ví dụ 5: Ảnh hưởng của hệ số nén Winkler đến tần số và chuyển vi của dầm được khảo sát và thể hiện trên Hình 3. Có thể thấy rằng khi tăng hệ số nén thì tần số dầm sẽ tăng và chuyển vi dầm sẽ giảm ( $\Delta=0$ ). Mức độ ảnh hưởng của hệ số nén đến ứng xử dầm giảm theo thứ tự: C-F → S-S → C-C.



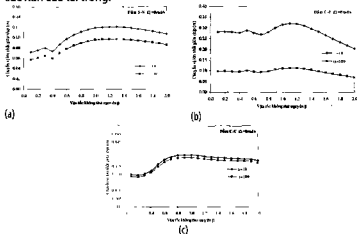
Hình 3. Tần số và chuyển vi giữa nhịp dầm theo hệ số nén Winkler

Ví dụ 6: Ví dụ này khảo sát ảnh hưởng của tần số lực kích thích lên chuyển vi của dầm. Hình 4 cho thấy khi tần số lực kích thích bằng tần số riêng của dầm thì xảy ra hiện tượng共振 (resonance). Khi đó giá trị chuyển vi dầm sẽ đạt cực đại. Giá trị cực đại của chuyển vi khi xảy ra共振 giảm khi ván tốc tải trọng tăng.



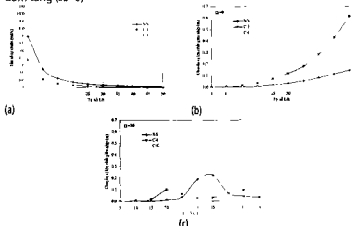
Hình 4. Chuyển vị giữa nhịp dầm theo tần số lục kích thích

Ví dụ 7: Vận tốc tái trong ảnh hưởng đến chuyển vị của dầm được khảo sát ở ví dụ này. Hình 5 cho thấy chuyển vị của dầm sẽ đạt cực trị với các hệ số vận tốc khác nhau ( $\Omega=0$ ): S-S là  $\beta = 1.2$ , C-C là  $\beta = 1.1$  và C-C là  $\beta = 0.9$ . Áp dụng bài toán này có thể xác định được vận tốc cực hạn của tải trọng.



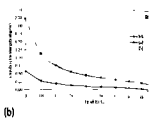
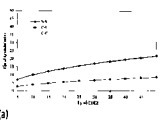
Hình 5. Chuyển vị giữa nhịp dầm theo vận tốc không thử nguyên

Ví dụ 8: Mối quan hệ giữa tỷ số  $L/h$  với tần số, chuyển vị dầm thể hiện trên Hình 6. Khi tăng tỷ số  $L/h$  thì tần số dầm giảm và chuyển vị dầm tăng ( $\Omega=0$ )



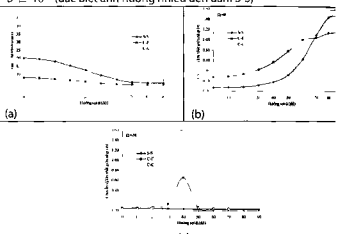
Hình 6. Tần số và chuyển vị giữa nhịp dầm theo tỷ số  $L/h$

Ví dụ 9: Sơ ảnh hưởng của tỷ số  $E_1/E_2$  đến ứng xử dầm được khảo sát. Nếu cố định giá trị  $E_2$  và tăng dần giá trị  $E_1$ , thì tần số dầm sẽ tăng và chuyển vị dầm sẽ giảm ( $\Omega=0$ ) như thể hiện trong Hình 7.



Hình 7. Tần số và chuyển vị dầm theo tỷ số  $E_1/E_2$  ( $\Omega=60\text{rad/s}$ )

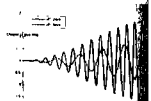
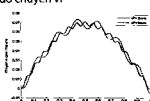
Ví dụ 10. Khi tăng góc soi  $\theta$  thì tần số dầm [ $\theta; -\theta$ ] giảm chừng đó cũng dầm giảm. Ảnh hưởng của hướng soi đến tần số dầm là rõ khi  $\theta \leq 70^\circ$  Khi  $\Omega=0$ , nếu tăng góc  $\theta$  thì chuyển vị của dầm sẽ (Hình 8). Ảnh hưởng của hướng soi đến chuyển vị dầm là rõ rệt  $\theta \geq 40^\circ$  (đặc biệt ảnh hưởng nhiều đến dầm S-S)



Hình 8. Tần số và chuyển vị giữa nhịp dầm [ $\theta; -\theta$ ] theo góc  $\theta$

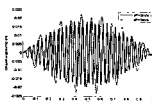
Các nhân xét trên là đúng đối với tải trọng di động nhưng khéo dao động ( $\Omega \neq 0$ ). Trong trường hợp tải trọng di động điều ( $\Omega \neq 0$ ), do quan hệ tương tác giữa tần số kích thích và tần số dầm của dầm, ảnh hưởng của các yếu tố kể trên đến ứng xử của dầm là tuân theo quy luật cụ thể

Ví dụ 11: Kết quả bài toán chuyển vị giữa dầm S-S theo thời gian thể hiện trên Hình 9 với các giá trị khác nhau của tần số lục kích thích và vận tốc tải trọng. Có thể nhận thấy với cùng một giá trị lục kích thích độ chuyển vị của điểm giữa dầm là giống nhau. Khi vận tải trọng tăng thì số lần dao động của dầm giảm. Còn khi tăng lục kích thích sẽ làm tăng số lần dao động của dầm. Ngoài ra, cũng cần chú ý đến vận tốc tải di động vì nó có ảnh hưởng đến thời gian kích thích của tải trọng trên dầm, do đó có ảnh hưởng đến biên độ độ dịch chuyển



(a)  $\Omega = 0\text{rad/s}$

(b)  $\Omega = 20\text{rad/s}$



(c)  $\Omega = 40 \text{ rad/s}$

Hình 9. Chuyển vị tại giữa dầm S-S theo thời gian

#### 4. Kết luận

Bài báo đã tiếp cận và giải quyết một bài toán cụ thể trong thực tế: ài toàn đường ray xe lùa (tàu điện) bằng mảnh kính dầm composite trên ên đan hõi chịu tải trọng di động điều hòa. Lý thuyết biến dạng cát ác cao được sử dụng để mô tả trường chuyển vị. Các nguyên lý năng lượng, phương trình Lagrange, hàn dâng xác xí được áp dụng để thiết lập phương trình chuyển động. Phương pháp rô rác Newmark được sử dụng để giải phương trình chuyển động. Các yếu tố có ảnh hưởng đến xu hướng của dầm như: độ cứng của nén dâng hõi Winkler, tần số lực kích, vận tốc di chuyển tái trọng, tỷ số  $L/h$ , tỷ lệ mỏm dâm dâng, ứng suất già cường... đều đã được khảo sát một cách chi tiết và rút ra hững kết luận hữu ích. Các kết quả khảo sát được so sánh với kết quả của nghiên cứu trước, đã chứng minh tính chính xác và hiệu quả của nghiên cứu này. Một số kết quả mới được trình bày làm cơ sở cho việc sánh trong các nghiên cứu tiếp theo.

#### Lời cảm ơn:

Nghiên cứu này được tài trợ bởi Quỹ Phát triển Khoa học và Công nghệ quốc gia (Nafosted) số No. 107.02-2015.07

#### TÀI LIỆU THAM KHẢO

1. K. Chandrasekhar, K. M. Bangerla. Free vibration of composite beams using a refined ear flexible beam element. *Computers & Structures* Vol.43, No.4, pp 719-727, 1992.
2. A. K. Khdeir, J. N. Reddy. Free vibration of cross-ply laminated beams with arbitrary boundary conditions. *Int J Engng Sci* Vol 32, No.12, pp 1971-1980, 1994.
3. H. Matsunaga. Vibration and buckling of multilayered composite beams according to higher order deformation theories. *Journal of Sound and Vibration* (2001) 246(1), 47-62.
4. W.Q. Chen, C.F. Lv, Z.G. Bian. Free vibration analysis of generally laminated beams via state-space-based differential quadrature. *Composite Structures* 63 (2004) 417-425.
5. M.V.V.S. Murthy, D. Roy Mahapatra, K. Badarinayana, S. Gopalakrishnan. A refined higher order element for asymmetric composite beams. *Composite Structures* 67 (2005) 27-35.
6. Metin Aydogdu. Free vibration analysis of angle-ply laminated beams with general boundary conditions. *Journal of reinforced plastics and composites* Vol. 25, No. 15/2006, 1571-1579.
7. Metin Aydogdu. Vibration analysis of cross-ply laminated beams with general boundary conditions by Ritz method. *International Journal of Mechanical Sciences* 47 (2005) 1740-1755.
8. P. Subramanian. Dynamic analysis of laminated composite beams using higher order theory and finite elements. *Composite Structures* 73 (2006) 342-353.
9. Thuc P. Vo, Huu-Tai Thai. Vibration and buckling of composite beams using refined shear formulation theory. *International Journal of Mechanical Sciences* 62 (2012) 67-76.
10. M. Mohammad Abadi, A.R. Daneshmehr. Modified couple stress theory applied to static analysis of composite laminated beams by considering different beam theories. *International Journal of Engineering Science* 87 (2015) 83-102.
11. J.L. Mantari, F.G. Canales. Free vibration and buckling of laminated beams via hybrid z solution for various penalized boundary conditions. *Composite Structures* Volume 152, 15 September 2016, Pages 306-315.
12. Trung-Kien Nguyen, Ngoc-Duong Nguyen, Thuc P. Vo, Huu-Tai Thai. Trigonometric-series function for analysis of laminated composite beams. *Composite Structures* 160 (2017) 142-151.
13. Winkler, E. *Die Lebre Von Der Und Festigkeit*. Dominicus, Prague, Czech Republic (1867).
14. S.C. Mohanty, R.R. Dash and T. Rout. Parametric instability of a functionally graded Timoshenko beam on Winkler's elastic foundation. *Nuclear Engineering and Design* 241 (2011) 18-2715.
15. F.F. Calim. Dynamic analysis of beams on viscoelastic foundation. *European Journal of Mechanics A/Solids* 28 (2009) 469-476.
16. S.C. Pradhan, S.C.T. Murmu. Thermo-mechanical vibration of FGM sandwich beam under variable elastic foundations using differential quadrature method. *Journal of Sound and Vibration* 321 (2009) 342-362.
17. Valsangkar, A. J., and R. Pradhanang. Vibrations of beam-columns on two-parameter elastic foundations. *Earthquake engineering & structural dynamics* 16 (1988) 217-225.
18. Franciosi, C., and A. Masli. Free vibrations of foundation beams on two-parameter elastic soil. *Computers & Structures* 47.3 (1993) 419-426.
19. K. Morfis. Vibrations of Timoshenko beams on three-parameter elastic foundation. *Computers and Structures* 88 (2010) 294-308.
20. M. Ansari, E. Esmalizadeh, D. Younesian. Frequency analysis of finite beams on nonlinear Kelvin-Voigt foundation under moving loads. *Journal of Sound and Vibration* 330 (2011) 1455-1471.
21. M. Aghdam, M.M. Aghdam. Nonlinear free vibration and post-buckling analysis of functionally graded beams on nonlinear elastic foundation. *European Journal of Mechanics A/Solids* 30 (2011) 571-583.
22. E.J. Sapountzakis, A.E. Kampitsis. Nonlinear response of shear deformable beams on tensionless nonlinear viscoelastic foundation under moving loads. *Journal of Sound and Vibration* 330 (2011) 5410-5426.
23. H. Asadi, M.M. Aghdam. Large amplitude vibration and post-buckling analysis of variable cross-section composite beams on nonlinear elastic foundation. *International Journal of Mechanical Sciences* 79 (2014) 47-55.
24. B.P. Patel, M. Ganapathi, M. Touratier. Nonlinear free flexural vibrations/post-buckling analysis of laminated orthotropic beams/columns on a two parameter elastic foundation. *Composite Structures* 46 (1999) 189-196.
25. Rades, Marcea. Forced vibrations of a rigid body on a three-parameter foundation. *International Journal of Mechanical Sciences* 13.7 (1971) 573-583.
26. Morfis, K., and I. E. Avramidis. Exact eigenvalue solutions for and comparative performance of the Kerr-type three-parameter model of a beam on elastic foundation. *Proceedings of PACAM X* (2008); 349-52.
27. M. Simsek, T. Kokaturu. Free and forced vibration of a functionally graded beam subjected to a concentrated moving harmonic load. *Composite Structures* 90 (2009) 465-473.
28. Zeki Kiral, Binnur Guen Kiral. Dynamic analysis of a symmetric laminated composite beam subjected to a moving load with constant velocity. *Journal of reinforced plastics and composites* Vol. 27, No. 1/2008.
29. Volkan KAHYA, Ayman S. MOSALLAM. Dynamic analysis of composite sandwich beams under moving mass. *Journal of Engineering Sciences* 14(1), 2011.
30. Chang Tao, Yi-Ming Fu, Hong-Liang Dai. Nonlinear dynamic analysis of fiber metal laminated beams subjected to moving loads in thermal environment. *Composite Structures* Volume 140, 15 April 2016, Pages 410-416.
31. A. S. Sayyad, Y. M. Ghogal. Effect of transverse shear and transverse normal strain on bending analysis of cross-ply laminated beams. *Int. J. of Appl. Math and Mech* 7 (1.2). 85-118, 2011.
32. J. N. Reddy. *Mechanics of laminated composite plates and shells* theory and analysis Second edition, CRC Press, 2004.